

## OPRAVNÝ LÍSTEK

Str. 22, ř. 22: 4-FN → 4-NP

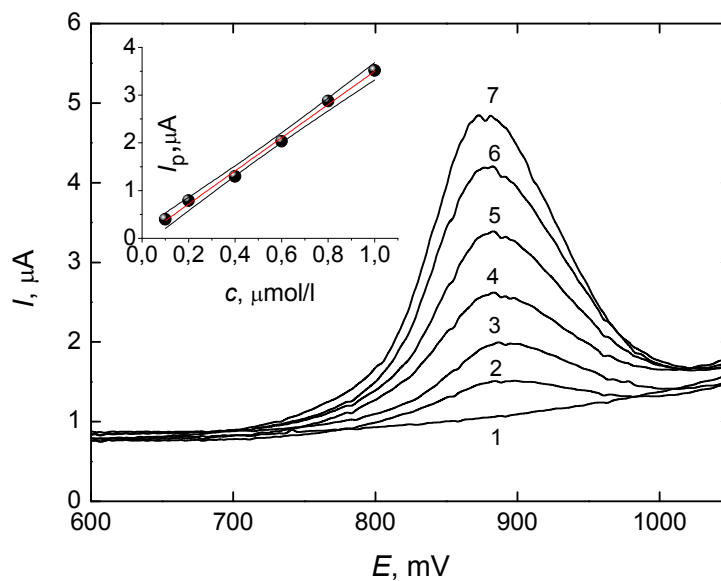
Str. 36, obr. 3.10, ř. 2: DP → DC

Str. 47, ř. 12: rozmezí  $1 \cdot 10^{-8}$  až  $1 \cdot 10^{-7}$  mol/l → rozmezí  $1 \cdot 10^{-8}$  až  $1 \cdot 10^{-6}$  mol/l

Str. 47, ř. 14: ( $c = 1 \cdot 10^{-8}$  až  $1 \cdot 10^{-7}$  mol/l 4-NP) → ( $c = 1 \cdot 10^{-8}$  až  $1 \cdot 10^{-6}$  mol/l 4-NP)

( $c = 1 \cdot 10^{-6}$  až  $1 \cdot 10^{-5}$  mol/l → ( $c = 1 \cdot 10^{-6}$  až  $1 \cdot 10^{-4}$  mol/l

Str. 48, obr. 4.2:



### Obr. 4.2

DP voltamogramy 4-NP na ls-CFE v prostředí BR pufru o pH 7,0. SPE ze 100 ml do 1 ml. Koncentrace 4-NP ve 100 ml deionizované vody: 0 (1) ;  $1 \cdot 10^{-7}$  (2) ;  $2 \cdot 10^{-7}$  (3) ;  $4 \cdot 10^{-7}$  (4) ;  $6 \cdot 10^{-7}$  (5) ;  $8 \cdot 10^{-7}$  (6) ;  $10 \cdot 10^{-7}$  (7) mol/l

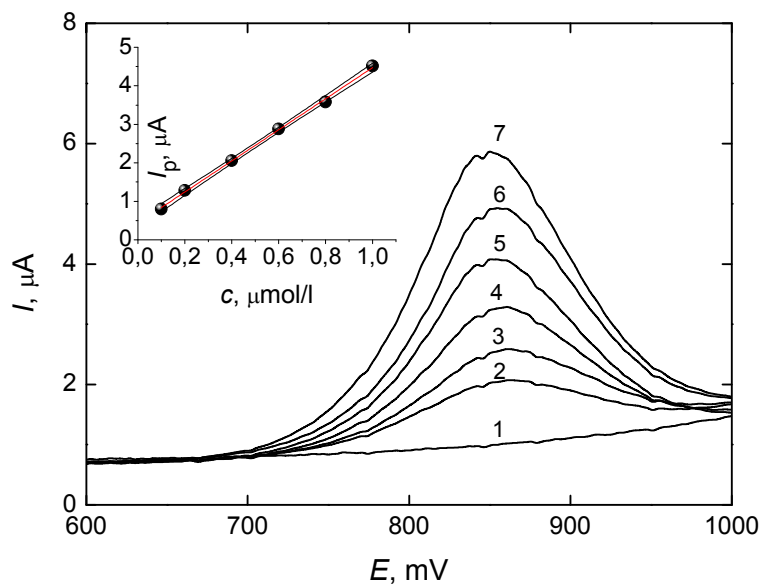
Str. 48, tab. 4.3:

**Tab. 4.3**

Parametry kalibračních přímek pro stanovení 4-NP na ls-CFE měřené technikou DPV v prostředí BR pufru o pH 7,0

$c$ , mol/l	Směrnice, mA·l/mol	Úsek, $\mu\text{A}$	$R$	$L_Q$ , mol/l
<i>SPE ze 100 ml do 10 ml</i>				
$(1-10)\cdot 10^{-7}$	$628,4 \pm 10,4$	$-0,043 \pm 0,006$	0,999	$1,9\cdot 10^{-7}$
<i>SPE ze 100 ml do 1 ml</i>				
$(1-10)\cdot 10^{-7}$	$4143,9 \pm 123,0$	$-0,044 \pm 0,074$	0,998	—
$(1-10)\cdot 10^{-8}$	$3572,6 \pm 89,5$	$0,011 \pm 0,005$	0,998	$1,4\cdot 10^{-8}$

Str. 52, obr. 4.6:



**Obr. 4.6**

DP voltamogramy 4-NP na ls-CFE v prostředí BR pufru o pH 7,0. SPE ze 100 ml do 1 ml říční vody. Koncentrace 4-NP ve 100 ml říční vody: 0 (1) ;  $1\cdot 10^{-7}$  (2) ;  $2\cdot 10^{-7}$  (3) ;  $4\cdot 10^{-7}$  (4) ;  $6\cdot 10^{-7}$  (5) ;  $8\cdot 10^{-7}$  (6) ;  $10\cdot 10^{-7}$  (7) mol/l

Str. 52, tab. 4.4:

**Tab. 4.4**

Parametry kalibračních přímků pro stanovení 4-NP na ls-CFE po SPE z modelového vzorku pitné a říční vody měřené technikou DPV v prostředí BR pufru o pH 7,0

$c$ , mol/l	Směrnice, mA·l/mol	Úsek, $\mu\text{A}$	$R$	$L_Q$ , mol/l
<b>Extrakce z pitné vody</b>				
<i>SPE ze 100 ml do 10 ml</i>				
$(1-10)\cdot 10^{-7}$	$571,0 \pm 14,5$	$-0,017 \pm 0,008$	0,998	$2,2\cdot 10^{-7}$
<i>SPE ze 100 ml do 1 ml</i>				
$(1-10)\cdot 10^{-7}$	$3476,2 \pm 113,2$	$0,023 \pm 0,069$	0,997	—
$(1-10)\cdot 10^{-8}$	$2970,7 \pm 91,9$	$0,019 \pm 0,006$	0,998	$1,1\cdot 10^{-8}$
<b>Extrakce z říční vody</b>				
<i>SPE ze 100 ml do 10 ml</i>				
$(1-10)\cdot 10^{-7}$	$689,9 \pm 25,4$	$-0,046 \pm 0,015$	0,997	$2,1\cdot 10^{-7}$
<i>SPE ze 100 ml do 1 ml</i>				
$(1-10)\cdot 10^{-7}$	$4036,8 \pm 724,6$	$0,434 \pm 0,044$	0,999	—
$(1-10)\cdot 10^{-8}$	$3494,3 \pm 131,0$	$0,015 \pm 0,008$	0,997	$1,0\cdot 10^{-8}$

Str. 57, ř. 23: Randels-Ševčíkovy  $\rightarrow$  Randlesovy-Ševčíkovy

Str. 59, ř. 16: Randles-Ševčíkova  $\rightarrow$  Randlesova-Ševčíkova

Str. 71, tab. 6.1, ř. 14:  $(1-10)\cdot 10^{-8} \rightarrow (1-100)\cdot 10^{-8}$

Str. 71, tab. 6.1, ř. 15:  $(1-10)\cdot 10^{-8} \rightarrow (1-100)\cdot 10^{-8}$

Str. 71, tab. 6.1, ř. 16:  $(1-10)\cdot 10^{-8} \rightarrow (1-100)\cdot 10^{-8}$